

LABORATORIO DE ENSAYO DE MATERIALES
INFORME DE ENSAYO N°539-25 SU22


CLIENTE : YANGZHOU RONGFEI CONSTRUCTION ENGINEERING CO. SUCURSAL DEL PERI **CÓDIGO** : F-LEM-P-SU-22.02
DIRECCIÓN ** : CAL.AMADOR MERINO REYNA NRO. 460 DPTO. 14 URB. JARDIN **RECEPCIÓN N°** : 1460-25
PROYECTO ** : 200122- IE 0145 INDEPENDENCIA AMERICANA **F.EMISIÓN** : 2025-10-31
UBICACIÓN ** : AV. LOS NARDOS AMPLIACIÓN GRUPO 18 LOTE C EL SECTOR B – DISTRITO DE
: SAN JUAN DE LURIGANCHO – LIMA.

** Datos proporcionados por el cliente

DATOS DE LA MUESTRA																																																																							
CANTERA/SONDAJE** : CANTERA GLORIA		CÓDIGO DE LA MUESTRA : 286-AG-25																																																																					
N° MUESTRA ** : M-1		FECHA DE RECEPCIÓN : 2025-10-21																																																																					
TIPO DE MUESTRA ** : AFIRMADO		FECHA DE EJECUCIÓN : 2025-10-22																																																																					
LUGAR DE ENSAYO : LABORATORIO DE ENSAYOS DE MATERIALES																																																																							
<table><thead><tr><th colspan="2">Tamiz</th><th rowspan="2">% que Pasa</th></tr><tr><th>in.</th><th>mm.</th></tr></thead><tbody><tr><td>No.4</td><td>4,75</td><td>58,5</td></tr><tr><td>No.10</td><td>2,00</td><td>46,1</td></tr><tr><td>No.40</td><td>0,425</td><td>31,0</td></tr><tr><td>No. 200</td><td>0,075</td><td>20,3</td></tr></tbody></table> <table><tbody><tr><td>D10</td><td>0,042</td></tr><tr><td>D30</td><td>0,3</td></tr><tr><td>D60</td><td>5,2</td></tr><tr><td>Cu</td><td>124,6</td></tr><tr><td>Cc</td><td>0,6</td></tr></tbody></table> <table><thead><tr><th colspan="4">Distribución granulometrica</th></tr></thead><tbody><tr><td colspan="2">% BOLONES</td><td colspan="2"></td></tr><tr><td colspan="2">% BLOQUES</td><td colspan="2"></td></tr><tr><td rowspan="2">% GRAVA</td><td rowspan="2">41,5</td><td>Gruesa</td><td>10,5</td></tr><tr><td>Fina</td><td>31,0</td></tr><tr><td rowspan="3">% ARENA</td><td rowspan="3">38,2</td><td>Gruesa</td><td>12,4</td></tr><tr><td>Media</td><td>17,4</td></tr><tr><td>Fina</td><td>8,4</td></tr><tr><td>% FINO</td><td>20,3</td><td></td><td>20,3</td></tr><tr><td colspan="2">LL</td><td colspan="2">29</td></tr><tr><td colspan="2">LP</td><td colspan="2">16</td></tr><tr><td colspan="2">IP</td><td colspan="2">13</td></tr></tbody></table>			Tamiz		% que Pasa	in.	mm.	No.4	4,75	58,5	No.10	2,00	46,1	No.40	0,425	31,0	No. 200	0,075	20,3	D10	0,042	D30	0,3	D60	5,2	Cu	124,6	Cc	0,6	Distribución granulometrica				% BOLONES				% BLOQUES				% GRAVA	41,5	Gruesa	10,5	Fina	31,0	% ARENA	38,2	Gruesa	12,4	Media	17,4	Fina	8,4	% FINO	20,3		20,3	LL		29		LP		16		IP		13	
Tamiz		% que Pasa																																																																					
in.	mm.																																																																						
No.4	4,75	58,5																																																																					
No.10	2,00	46,1																																																																					
No.40	0,425	31,0																																																																					
No. 200	0,075	20,3																																																																					
D10	0,042																																																																						
D30	0,3																																																																						
D60	5,2																																																																						
Cu	124,6																																																																						
Cc	0,6																																																																						
Distribución granulometrica																																																																							
% BOLONES																																																																							
% BLOQUES																																																																							
% GRAVA	41,5	Gruesa	10,5																																																																				
		Fina	31,0																																																																				
% ARENA	38,2	Gruesa	12,4																																																																				
		Media	17,4																																																																				
		Fina	8,4																																																																				
% FINO	20,3		20,3																																																																				
LL		29																																																																					
LP		16																																																																					
IP		13																																																																					
Standard Practice for Classification of Soils for Engineering Purposes (Unified Soil Classification System) D2487-17 (Reapproved 2025)																																																																							
<table><thead><tr><th colspan="2">SISTEMA UNIFICADO CLASIFICACIÓN SUCS</th></tr></thead><tbody><tr><td>Simbolo de Grupo</td><td>GC</td></tr><tr><td>Denominación de Grupo</td><td>Grava arcillosa con arena</td></tr></tbody></table>			SISTEMA UNIFICADO CLASIFICACIÓN SUCS		Simbolo de Grupo	GC	Denominación de Grupo	Grava arcillosa con arena																																																															
SISTEMA UNIFICADO CLASIFICACIÓN SUCS																																																																							
Simbolo de Grupo	GC																																																																						
Denominación de Grupo	Grava arcillosa con arena																																																																						
Standard Practice for Classification of Soils and Soil-Aggregate Mixtures for Highway Construction Purposes D3282-24																																																																							
<table><thead><tr><th colspan="2">SISTEMA DE CLASIFICACION AASHTO</th></tr></thead><tbody><tr><td>Clasificación AASHTO</td><td>A-2-6 (0)</td></tr></tbody></table>			SISTEMA DE CLASIFICACION AASHTO		Clasificación AASHTO	A-2-6 (0)																																																																	
SISTEMA DE CLASIFICACION AASHTO																																																																							
Clasificación AASHTO	A-2-6 (0)																																																																						

Ensayos de referencia:

La distribución granulometrica corresponde al Informe de ensayo N°307-25 SU24
El limite de Atterberg corresponde al Informe de ensayo N°657-25 SU23


IRMA COAQUIRA LAYME
Ingeniero Civil CIP 121204
Laboratorio Geofal S.A.C.

